

An Ethiopian pattern of human adaptation to high-altitude hypoxia

Cynthia M. Beall, Michael J. Decker, Gary M. Brittenham,
Irving Kushner, Amha Gebremedhin and Kingman P. Strohl

<http://www.pnas.org/cgi/content/full/99/26/17215>

Patterns of adaptation to high-altitude hypoxia are identified by comparing the presence (+) or absence (−) of erythrocytosis and arterial hypoxemia

Partial pressure of inspired oxygen, % of sea level	Erythrocytosis	Arterial hypoxemia
Sea level	100	−
Andean (3500-4000 m)	60	+

Data were obtained by using the mean values of hemoglobin concentration and oxygen saturation of hemoglobin of sea level populations as a point of reference, published values from Andean and Tibetan high-altitude populations at 4,000 m (12, 17, 18)

Patterns of adaptation to high-altitude hypoxia are identified by comparing the presence (+) or absence (−) of erythrocytosis and arterial hypoxemia

	Partial pressure of inspired oxygen, % of sea level	Erythrocytosis	Arterial hypoxemia
Sea level	100	−	−
Tibetan (3500-4000 m)	60	−	+
Andean (3500-4000 m)	60	+	+

Data were obtained by using the mean values of hemoglobin concentration and oxygen saturation of hemoglobin of sea level populations as a point of reference, published values from Andean and Tibetan high-altitude populations at 4,000 m (12, 17, 18)

Patterns of adaptation to high-altitude hypoxia are identified by comparing the presence (+) or absence (–) of erythrocytosis and arterial hypoxemia

Partial pressure of inspired oxygen, % of sea level	Erythrocytosis	Arterial hypoxemia
Sea level	–	–
Ethiopian (3500 m)	64	
Tibetan (3500-4000 m)	–	+
Andean (3500-4000 m)	+	+

Data were obtained by using the mean values of hemoglobin concentration and oxygen saturation of hemoglobin of sea level populations as a point of reference, published values from Andean and Tibetan high-altitude populations at 4,000 m (12, 17, 18)

méthodologie

population

Ambaras du plateau éthiopien (3530 m)

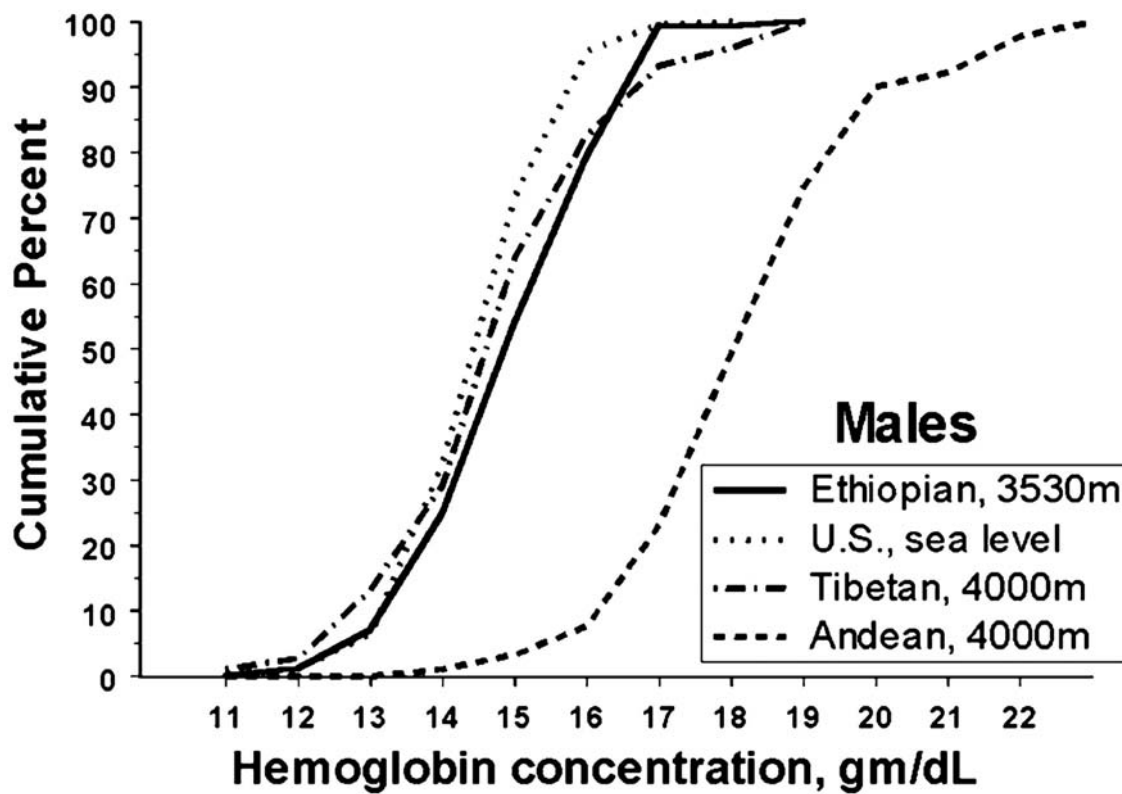
313 personnes de 14 à 86 ans
hommes et femmes, non fumeurs

analyses

concentration en hémoglobine
% de saturation du l'hémoglobine artérielle
types d'hémoglogine exprimée
concentration en EPO

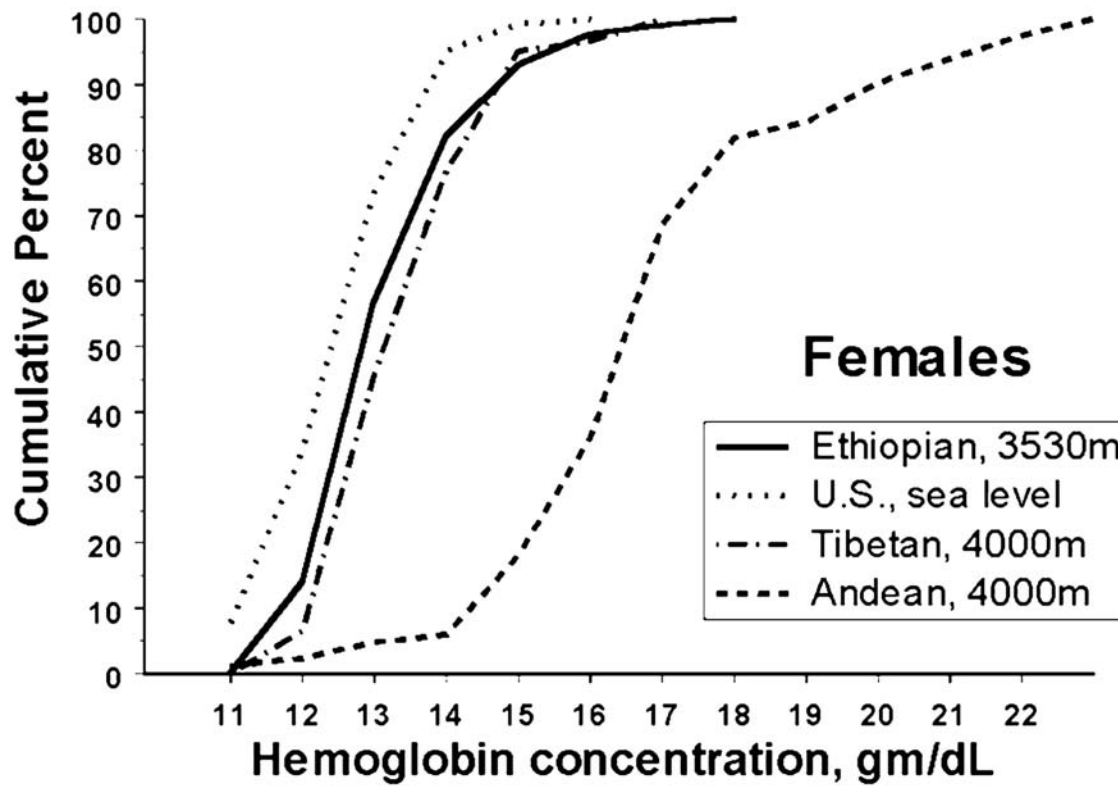
données contrôles : poids, hauteur, carence en fer, inflammation chronique, état physiologique

concentration en hémoglobine (hommes)



moyenne : $15,9 \pm 0,1$ g/dL

concentration en hémoglobine (femmes)



moyenne : $15,0 \pm 0,1$ g/dL

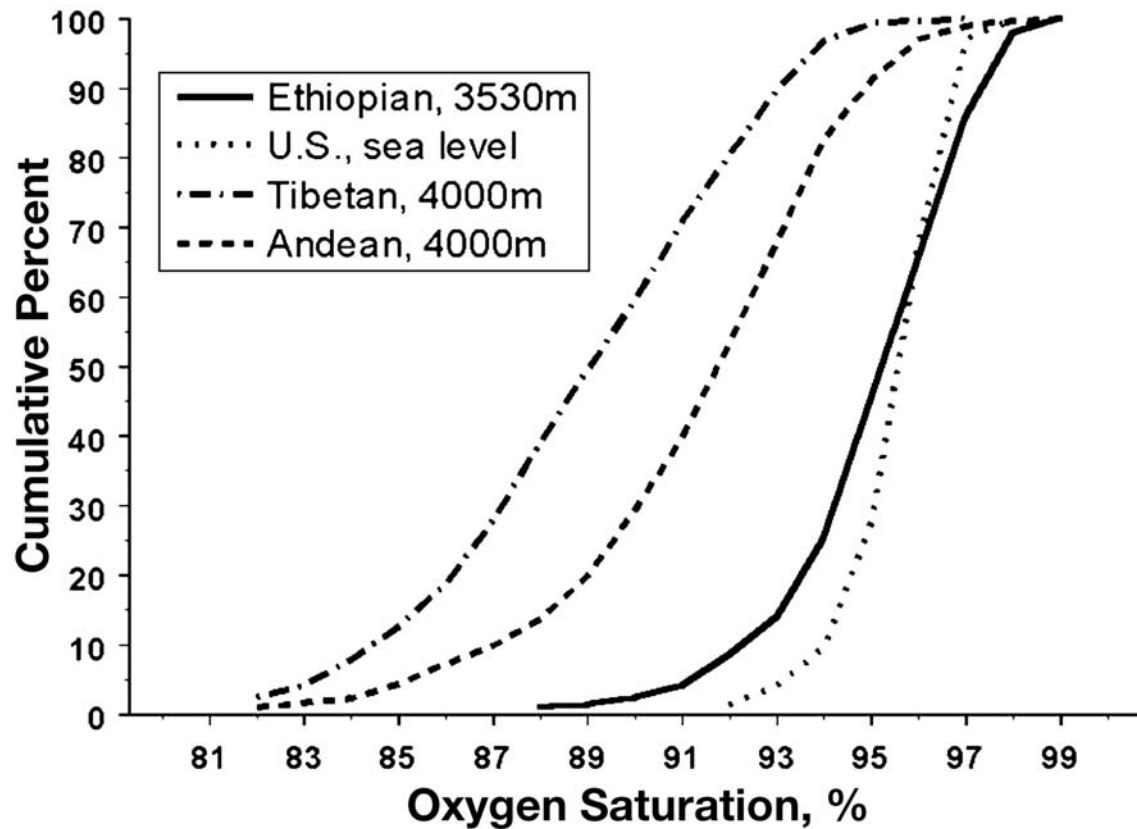
concentration EPO

niveau de la mer : 5-30 milliunités/mL

Ambaras (3530 m) : $6,6 \pm 0.3$ milliunités/mL

pas de différence entre sexes

% de saturation en oxygène de l'hémoglobine artérielle



Ambaras : $95,3 \pm 0,2 \%$
Cleveland : $96,7 \pm 0,2 \%$

hémoglogine A

Conclusion

altitudes : trois profils distincts :

	Partial pressure of inspired oxygen, % of sea level	Erythrocytosis	Arterial hypoxemia
Sea level	100	—	—
Ethiopian (3500 m)	64	—	—
Tibetan (3500-4000 m)	60	—	+
Andean (3500-4000 m)	60	+	+

Éthiopiens : pas d'hypoxémie ni d'hyperflobulie

explications possibles (selon les auteurs) :

affinité plus importante de l'hémoglobine pour l'oxygène :

**hémoglobine génétiquement distincte : non
modulation de l'affinité par le 2,3 DPG**

meilleure diffusion alvéolo-capillaire (?)

Signification adaptative

altitudes : trois profils distincts :

adaptation / ajustement ?

un des profils fonctionnent-ils mieux que les autres ?

différences génétiques : dues à la pression de sélection ?

dues à la dérive génétique d'échantillonage ?

données paléoanthropologiques

peuplement du plateau tibétain :

1^{er} peuplement : -25000 ans (archéologie)

2^e peuplement : -23000 à -22000 ans (archéologie)

3^e peuplement : -6000 ans (analyse génétiques Y)

peuplement du plateau andin :

1^{er} peuplement : -11000 ans (archéologie)

2^e peuplement : -3500 ans (archéologie)